

RGO/C₃N₄复合材料的制备及可见光催化性能

张芬 柴波* 廖翔 任美霞 柳兵仁

(武汉轻工大学化学与环境工程学院, 武汉 430023)

摘要: 通过半封闭一步热裂解法和改进的 Hummers 法分别制备了类石墨氮化碳(C₃N₄)和氧化石墨烯(GO), 再利用光还原方法制得还原氧化石墨烯/氮化碳(RGO/C₃N₄)复合材料。采用 X 射线衍射(XRD), 场发射扫描电镜(FESEM), X 射线光电子能谱(XPS), 紫外-可见漫反射吸收光谱(DRS), 光致发光(PL)和傅里叶变换红外光谱(FTIR)等测试技术对复合材料进行表征。以罗丹明 B(RhB)为探针分子在可见光下考察 RGO/C₃N₄复合材料的光催化活性, 结果表明: RGO 的引入显著提高了 C₃N₄ 的光催化活性, 且 6.0% RGO/C₃N₄ 复合物的光催化活性最高, 可能的原因是 RGO 具有优良的接受和传导电子性能, 抑制了 C₃N₄ 光生电子-空穴的复合机率, 进而提高了光催化活性。

关键词: RGO/C₃N₄ 复合材料; 光还原; 光催化; 降解; 罗丹明 B

中图分类号: O613.71 **文献标识码:** A **文章编号:** 1001-4861(2104)04-0821-07

DOI: 10.11862/CJIC.2014.094

Preparation and Visible Light Photocatalytic Properties of RGO/C₃N₄ Composites

ZHANG Fen CHAI Bo* LIAO Xiang REN Mei-Xia LIU Bing-Ren

(School of Chemical and Environmental Engineering, Wuhan Polytechnic University, Wuhan 430023, China)

Abstract: The graphitic-like carbon nitride (C₃N₄) and graphene oxide (GO) were respectively prepared by one step semi-enclosed pyrolysis and improved Hummers method. Following the reduced graphene oxide/C₃N₄ (RGO/C₃N₄) composites were fabricated via a photo-reduction route. The as-prepared samples were characterized by X-ray diffraction (XRD), Field emission scanning electron microscopy (FESEM), X-ray photoelectron spectroscopy (XPS), UV-Vis diffuse reflectance absorption spectroscopy (DRS), Photoluminescence (PL) and Fourier transform infrared spectroscopy (FTIR). The photocatalytic activity of samples was evaluated under visible light irradiation using Rhodamine B(RhB) as probe molecule. The experimental results show that the introduction of RGO could considerably enhance photocatalytic activity, and the 6.0% RGO/C₃N₄ composite exhibits the best photocatalytic performance. The significantly enhanced photocatalytic activity for the present composite originates from the electron-accepting and electron-transportation property of RGO, which inhibits the recombination rate of photogenerated electron-hole pairs.

Key words: RGO/C₃N₄ composites; photoreduction; photocatalysis; degradation; rhodamine B

0 引言

光催化技术在环境净化和能源转化方面具有广阔的应用前景^[1-3]。作为传统的光催化材料 TiO₂, 由于

其良好的光响应性能, 无毒, 化学稳定性好及廉价等优点而备受关注^[4-5]。但 TiO₂ 的能隙较宽(约 3.2 eV), 只能吸收占太阳光谱 4% 的紫外光, 且高的光生电子-空穴复合率导致较低的光量子效率。因此开发

收稿日期: 2013-06-03。收修改稿日期: 2013-11-01。

武汉轻工大学引进(培养)人才科研启动项目(2012RZ12)和武汉轻工大学大学生创新创业训练计划资助项目(No.CXXL2013009)。

*通讯联系人。E-mail:willycb@163.com

新型,高效,可见光响应的光催化材料成为光催化领域研究热点^[6-8]。

近来,不含金属元素的类石墨氮化碳(C_3N_4)作为一种新型的可见光响应材料,在光催化降解和制氢方面显示了良好的应用前景,并引起了广泛关注^[9-11]。 C_3N_4 作为光催化材料具有如下优点:窄的能隙(约为2.8 eV),对可见光响应;可通过便利的方法和廉价的原料大规模制备;化学稳定性好。但单纯的 C_3N_4 ,由于光生电子-空穴极易复合,导致其光催化性能并不理想。因此为了提高 C_3N_4 光催化活性,研究者将 C_3N_4 与其他材料复合,利用二者的协同作用促进光生载流子的分离^[12-15]。

石墨烯作为一种新型的二维碳材料,具有许多优异性质,理论比表面积高达($2\ 630\ m^2\cdot g^{-1}$),极高的电子迁移率($200\ 000\ cm^2\cdot V^{-1}\cdot s^{-1}$),因此有望在纳米电子器件、电池/超级电容器、储氢材料及催化材料等领域得到广泛应用^[16]。目前,将石墨烯与半导体材料复合来提高其光催化活性的报道已较多,如RGO/TiO₂,RGO/CdS,RGO/Bi₂WO₆,RGO/ZnO等^[17-20],但将石墨烯和 C_3N_4 复合来提高其光催化活性却鲜有报道。Yu等人通过浸渍-化学还原的方法制备了RGO/ C_3N_4 复合物,其中1%RGO/ C_3N_4 光催化制氢活性最高,是单纯 C_3N_4 的3.07倍^[21]。Quan等人通过声化学的方法制备了氧化石墨烯/ C_3N_4 杂化复合物,他们发现制备的复合物光催化降解罗丹明B和2,4-二氯苯酚活性分别是单纯 C_3N_4 的3.8和2倍^[22]。本文通过半封闭一步热裂解和改进的Hummers方法分别制备了类石墨氮化碳(C_3N_4)和氧化石墨烯(GO),再利用光还原的方法制得RGO/ C_3N_4 复合材料。在可见光下,考察不同质量比复合物光催化降解罗丹明B(RhB)的活性,同时探讨了光催化活性增强的机理。

1 实验

1.1 试剂

实验所用的试剂为尿素,无水乙醇, $NaNO_3$,浓硫酸,浓盐酸, $KMnO_4$,30% H_2O_2 ,罗丹明B,甲醇,对苯二甲酸,三乙醇胺,异丙醇,对苯醌(分析纯,国药集团化学试剂有限公司),石墨粉,去离子水。

1.2 材料制备

1.2.1 C_3N_4 的制备

取5.0 g尿素研细后装入坩埚中,盖上盖子,在500 ℃下煅烧3 h,随炉冷却后将产物在玛瑙研钵中

研细,得到淡黄色的 C_3N_4 固体粉末。

1.2.2 氧化石墨烯(GO)的制备

采用改进的Hummers法^[23],将2.5 g石墨粉和1.25 g $NaNO_3$ 加入到含有60 mL 95%浓 H_2SO_4 的500 mL三口烧瓶中,混合液在冰浴下搅拌30 min,在搅拌的过程中缓慢的将7.5 g $KMnO_4$ 加入到烧瓶中,在加入的过程中保持反应液的温度在20 ℃以下,加完后将混合物在室温下搅拌12 h。然后边搅拌边缓慢的向烧瓶中加入75 mL水,将烧瓶转移到油浴中,迅速将反应液的温度升到98 ℃,混合物的颜色变为土黄色,并在此温度下保温24 h。最后向烧瓶中加入25 mL 30% H_2O_2 ,反应完毕后将混合物离心,产物用5%盐酸溶液和去离子水洗涤数次,在60 ℃真空中干燥,得到棕色的氧化石墨烯(GO)。

1.2.3 RGO/ C_3N_4 复合物的制备

将上述制得的30 mg GO加入到60 mL水中,超声1 h,使GO分散均匀。再加入0.5 g C_3N_4 粉末,继续超声30 min后将混合物在常温下搅拌12 h,然后向混合液中加入10 mL甲醇,搅拌状态下,用500 W氙灯光照3 h,使GO原位光还原,制得还原氧化石墨烯RGO/ C_3N_4 复合物。最后将固体产物离心分离,用水和乙醇各洗涤3次,产物在80 ℃下烘干,得到质量分数为6.0%RGO/ C_3N_4 复合物。用同样方法改变GO的加入量,分别制得3.0%,4.5%,7.5%和9.0%的RGO/ C_3N_4 复合物。

1.3 样品表征

采用D8-Advance型X-射线粉末衍射仪(德国,Bruker公司)测定样品的晶相组成,Cu $K\alpha$ 射线($\lambda=0.154\ 178\ nm$)为射线源,工作电压40 kV,工作电流40 mA,扫描速度为 $0.1^\circ\cdot s^{-1}$ 。JSM-6700F型场发射扫描电子显微镜对样品进行形貌分析。Thermo Nicolet Avatar 360进行傅立叶变换红外光谱(FTIR)测试,采用传统的KBr压片。样品表面元素的价态分析采用VG Multilab 2000型X-射线光电子能谱仪,X射线源为Al $K\alpha$ 射线,功率为300 W。紫外-可见漫反射光谱(DRS)在Shimadzu 3600型紫外-可见-近红外分光光度计(日本岛津)上测定,用 $BaSO_4$ 作为参比。固体粉末光致发光测试采用Varian Cary Eclipse荧光光谱仪,测试激发波长为315 nm。

1.4 光催化实验

实验通过降解RhB溶液来评价催化剂的光催化活性,具体测试过程如下:30 mg样品分散于50 mL的 $2\times 10^{-5}\ mol\cdot L^{-1}$ RhB溶液中,光照前暗态下

搅拌30 min, 达到吸附-脱附平衡。可见光源选用500 W的氙灯, 用滤光片除去波长 $\lambda < 420$ nm的光。每隔15 min取4 mL的溶液离心分离后检测波长554 nm处的吸光度, 根据下面公式计算RhB的降解率: $\eta = (A_0 - A_t)/A_0 \times 100\%$, 其中: η 为降解率; A_0 为吸附-脱附平衡后RhB溶液的吸光度; A_t 为光照不同时间后RhB溶液的吸光度。羟基自由基($\cdot\text{OH}$)的测定: 对苯二甲酸与 $\cdot\text{OH}$ 反应生成2-羟基对苯二甲酸, 它是一种高度敏感的荧光产物, 能在425 nm处发出荧光信号, 且荧光强度与溶液中产生的 $\cdot\text{OH}$ 数目成正比。因此本实验用对苯二甲酸为分子探针, 通过荧光技术(PL)来检测光反应过程中溶液中生成的 $\cdot\text{OH}$ 数目。实验方法与光催化降解RhB溶液的测定一致, 其中RhB溶液用50 mL的对苯二甲酸(5×10^{-4} mol·L⁻¹)和NaOH(2×10^{-3} mol·L⁻¹)混合溶液代替, 溶液每隔15 min测1次荧光强度^[24]。

2 结果与讨论

2.1 XRD分析

图1为GO,C₃N₄和6.0% RGO/C₃N₄样品的XRD图。由图可知, GO在2θ角为11.3°处有一个较强的衍射峰, 对应石墨碳的(001)晶面, 这与文献报道的结果一致^[25]。C₃N₄在2θ角为27°附近有一个宽化的衍射峰, 这是C₃N₄的特征峰, 对应其(002)晶面^[11]。6.0% RGO/C₃N₄复合物同样在2θ角为27°处有一宽化的衍射峰, 这对应于C₃N₄的特征峰; 图中

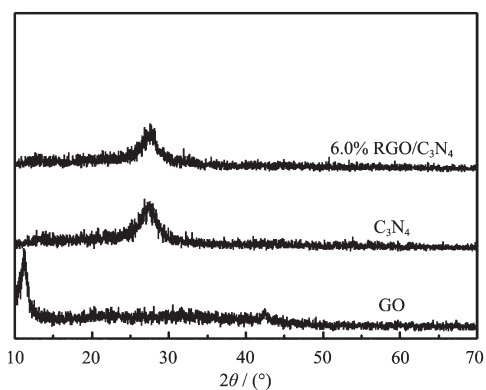


图1 GO,C₃N₄和6.0% RGO/C₃N₄复合物的XRD图

Fig.1 XRD patterns of GO, C₃N₄ and 6.0% RGO/C₃N₄ composite

没有检测到GO的衍射峰, 说明在光照条件下GO已被部分还原为RGO; 另一个原因可能是被还原的GO高度分散于C₃N₄中, 不能被仪器所检测出来。

2.2 SEM分析

图2为GO,C₃N₄和6.0% RGO/C₃N₄复合物的SEM图。由图2a可知, 所制备的GO呈明显的层状结构, 层的表面比较光滑, 层与层之间堆积的很致密。从图2b可知, 单纯C₃N₄也呈现二维层状结构, 且层的厚度约为10~20 nm。当复合6.0% RGO后(图2c), 复合物的形貌与单纯C₃N₄相比没有明显的变化。图2c中未明显观察到RGO的成分, 这可能是由于RGO高度分散于C₃N₄中。

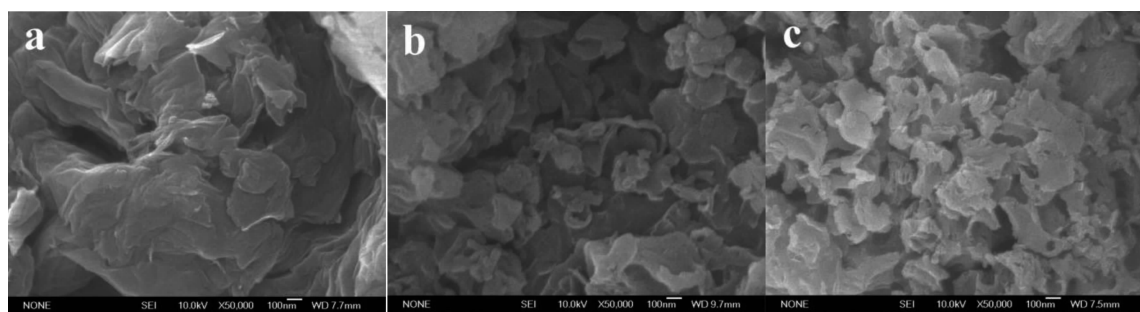


图2 GO(a), C₃N₄(b)和6.0% RGO/C₃N₄复合物(c)SEM图

Fig.2 SEM images of GO (a), C₃N₄(b)and 6.0% RGO/C₃N₄ composite (c)

2.3 FTIR分析

图3为GO,C₃N₄和6.0% RGO/C₃N₄复合物的FTIR光谱图。对于GO, 位于3 420 cm⁻¹处宽的吸收峰属于GO中-OH的伸缩振动模式或是GO表面吸附H₂O分子的-OH伸缩振动; 吸收峰位于1 702, 1 644, 1 551, 1 391和1 048 cm⁻¹分别属于GO片层

边缘-COOH中-C=O的伸缩振动,-OH弯曲振动,C-C骨架振动, 三级C-OH的伸缩振动和C-O的伸缩振动。

由此可知, GO中富含-COOH、-OH等基团^[21]。C₃N₄的红外光谱在1 253, 1 328, 1 420, 1 574和1 635 cm⁻¹有强烈的吸收, 这归属于C₃N₄中CN杂

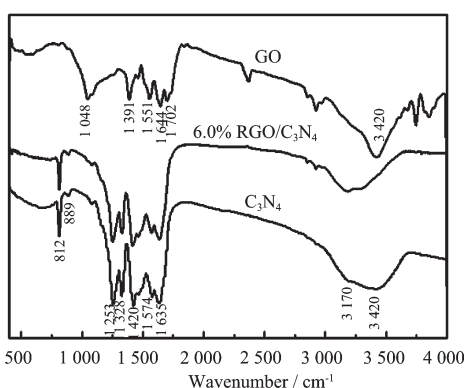


图 3 GO, C_3N_4 和 6.0% RGO/ C_3N_4 复合物的 FTIR 图谱

Fig.3 FTIR spectra of GO, C_3N_4 and 6.0% RGO/ C_3N_4 composite

环的振动，在 812 和 889 cm^{-1} 处的吸收峰是由于 C_3N_4 中三嗪环的骨架振动， $3\ 170\text{ cm}^{-1}$ 的吸收峰为CN环上的-NH残基伸缩振动， $3\ 420\text{ cm}^{-1}$ 吸收峰为吸附的水分子的-OH伸缩振动，这与文献报道的结果相近^[10]。在6.0% RGO/ C_3N_4 复合物中， C_3N_4 的特征吸收峰很明显，而GO的特征吸收峰强度明显减弱并消失，表明复合物中GO已被还原为RGO。因此，RGO/ C_3N_4 复合物主要由RGO和 C_3N_4 构成。

2.4 XPS分析

为了检测样品中元素组成及元素所处的化学状态，采用XPS技术进一步对 C_3N_4 和6.0%RGO/ C_3N_4 复合物进行表征。图4a为 C_3N_4 和复合物的XPS全谱图，表明 C_3N_4 和复合物中含有C,N和O元素。对于 C_3N_4 ,O元素是一种不纯物，它可能是来自于吸附的 CO_2 或 H_2O ，这可由FTIR光谱证实；也可能是尿素在高温裂解过程中没有完全反应的含氧中间产物^[10]。图4b中不对称，较宽的C1s峰呈现了不同化学状态碳的共存模式，结合能位于 284.6 eV 的峰一部分来自于仪器本身的污染(机油,吸附等)，也有可能是石墨碳。对RGO/ C_3N_4 复合物而言，还有可能来自于RGO中的 sp^2 杂化碳；结合能位于 286.3 eV 的弱峰归属于RGO中的C-OH基团，峰的强度较弱，说明GO已被部分还原为RGO^[21]；而位于 288.0 eV 的强峰对应于 C_3N_4 中的N-C=N基团^[10]。图4c是N1s高分辨XPS图谱，从图可见，N1s峰可拟合成四个峰，分别归属于C=N-C键(398.3 eV)，N-(C)₃键(399.0 eV)，N-H基团(400.5 eV)和 π 激发(402.4 eV)^[10]。以上结果表明，尿素在 $500\text{ }^\circ\text{C}$ 下加盖煅烧3 h可制得 C_3N_4 ；而RGO/ C_3N_4 复合物中存在着RGO与 C_3N_4 ，这与FTIR分析的结果一致。

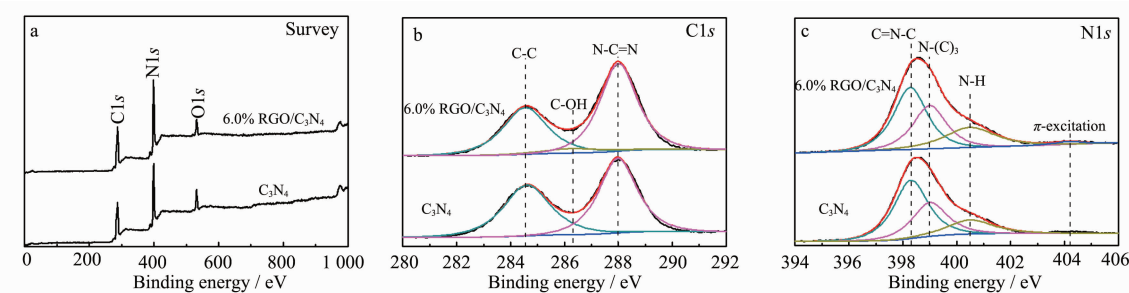


图 4 C_3N_4 和 6.0% RGO/ C_3N_4 复合物的 XPS 全谱图(a), C1s(b)和 N1s(c)的 XPS 高分辨图谱

Fig.4 XPS spectra of C_3N_4 and 6.0% RGO/ C_3N_4 composite: (a) survey spectra, (b) high-resolution C1s XPS spectra and (c) high-resolution N1s XPS spectra

2.5 DRS分析

图5是 C_3N_4 和6.0%RGO/ C_3N_4 复合物的紫外-可见漫反射吸收光谱图。从图可知， C_3N_4 和6.0%RGO/ C_3N_4 复合物在可见光区435 nm附近呈现了陡峭的强吸收，这属于 C_3N_4 的本征吸收，是由于电子从价带跃迁到导带而产生的。根据公式 $E_g=1\ 240/\lambda_g$ (λ_g 为半导体吸收带边值)，得出 C_3N_4 的能隙约为 2.85 eV 。值得注意的，6.0%RGO/ C_3N_4 复合物在整个可见光区的吸收都有所增强，这是由于RGO的引入，使其对光的吸收增强，也与样品的灰色颜色相一

致。

2.6 光催化活性分析

图6为 C_3N_4 和不同复合比例RGO/ C_3N_4 复合物对RhB溶液的光催化降解速率 C/C_0 随光照时间的变化曲线图。由图可知，随着光照时间的增加，RhB溶液的降解率持续上升。在没有催化剂存在的条件下对RhB溶液光照1 h后，其降解率约为2%，说明RhB的自降解并不明显。因此，RhB溶液的降解是在催化剂存在条件下的光化学反应所引起。对于单纯的 C_3N_4 ，在光照1 h后，RhB溶液的降解率约为

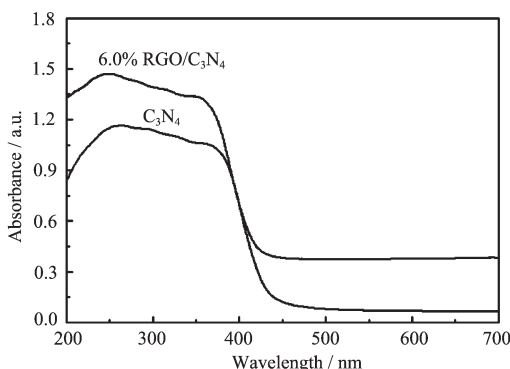


图 5 C₃N₄ 和 6.0% RGO/C₃N₄ 复合物的紫外-可见漫反射吸收光谱图

Fig.5 UV-Vis diffuse reflectance absorption spectra of C₃N₄ and 6.0% RGO/C₃N₄ composite

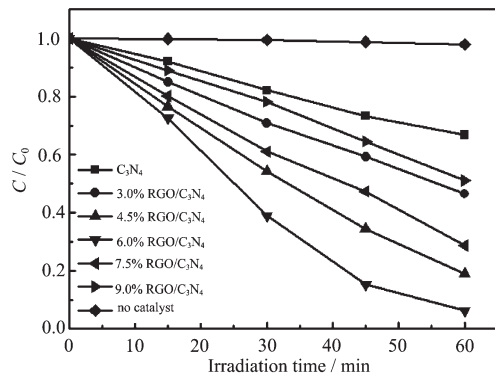


图 6 不同样品光催化降解 RhB 溶液曲线图

Fig.6 Photocatalytic degradation RhB solution graph of different samples

33%；而 3.0%、4.5%、6.0%、7.5% 和 9.0% RGO/C₃N₄ 复合材料对 RhB 的降解率分别为 54%、81%、94%、71% 和 49%，与单纯的 C₃N₄ 相比都有一定程度的提高，表明将 RGO 与 C₃N₄ 复合后，可明显增强 C₃N₄ 的光催化活性。其中 6.0% RGO/C₃N₄ 复合物表现出了最好的光催化活性，说明 6.0% RGO 复合比例是最优值。增加 RGO 的复合比例，RGO/C₃N₄ 复合材料的光催化活性反而下降，可能的原因是过量的 RGO 在复合物中增加了光子的吸收和散射，从而影响 C₃N₄ 对光的吸收和利用，造成光催化活性降低^[20]。

对于低浓度的 RhB 溶液，它的光催化降解过程为拟一级反应，其动力学可以用以下公式表示： $-\ln(C/C_0)=kt$ ，其中 k 为表观速率常数，样品的光催化性能可以通过反应速率常数 k 值来评价， k 值越大样品的光催化性能越好。图 7 为不同样品光催化反应速率常数图。C₃N₄、3.0%、4.5%、6.0%、7.5%、9.0% RGO/C₃N₄ 复合材料和 RhB 自降解的反应速率常数

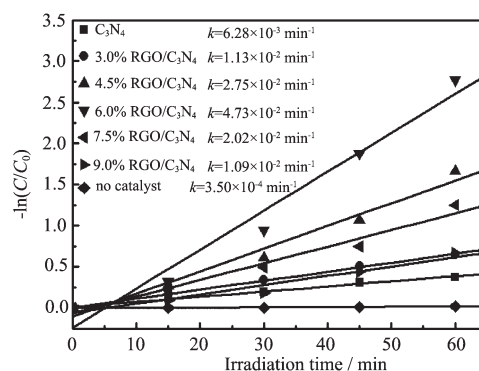


图 7 不同样品的光催化反应速率常数

Fig.7 Photocatalytic reaction rate constant of different samples

分别为 6.28×10^{-3} 、 1.13×10^{-2} 、 2.75×10^{-2} 、 4.73×10^{-2} 、 2.02×10^{-2} 、 1.09×10^{-2} 和 $3.50 \times 10^{-4} \text{ min}^{-1}$ 。

我们分别在光催化体系中加入三乙醇胺(TEOA 捕获空穴 h⁺)，异丙醇(IPA 捕获羟基自由基·OH)和对苯醌(BQ 捕获超氧自由基·O₂⁻)来探究在光催化反应中的氧化性活性物质^[26]。图 8 为 6.0%RGO/C₃N₄ 复合材料在光催化降解 RhB 溶液时加入 3 种捕获剂后降解速率图。与未加捕获剂相比，加入三乙醇胺和对苯醌后 RhB 溶液的降解率明显下降，由原来的 94% 分别降为 3% 和 10%，而异丙醇的加入几乎对 RGO/C₃N₄ 复合物的光催化活性没有影响。这说明光催化过程中涉及的活性物质主要为空穴和超氧自由基，而·OH 不是光催化反应中的主要活性物质。

为了验证上述的结论，用对苯二甲酸为分子探针，通过荧光技术来检测溶液中生成·OH 的数量。图 9 为 6.0% RGO/C₃N₄ 复合材料在对苯二甲酸 (5×

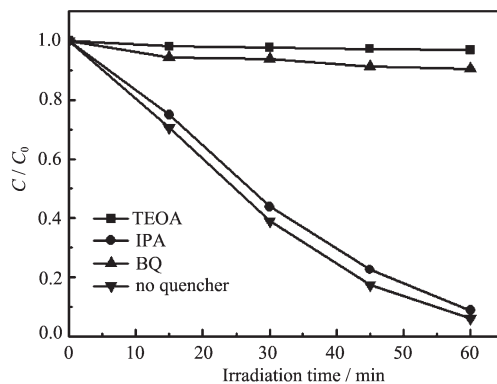


图 8 捕获剂对 6.0% RGO/C₃N₄ 复合物光催化活性的影响

Fig.8 Effect of trapping agents on photocatalytic activity of 6.0% RGO/C₃N₄ composite

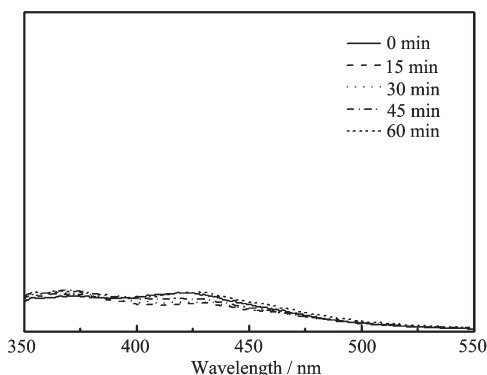
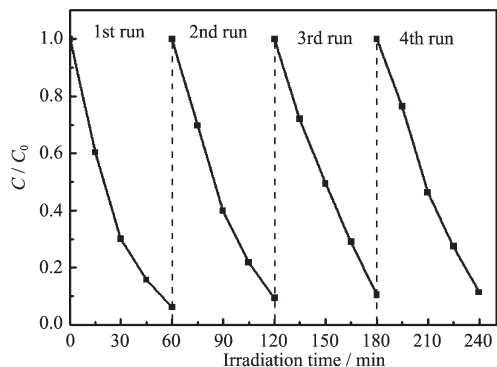


图 9 荧光光谱随光照时间的变化曲线

Fig.9 PL spectral change curve during visible light irradiation

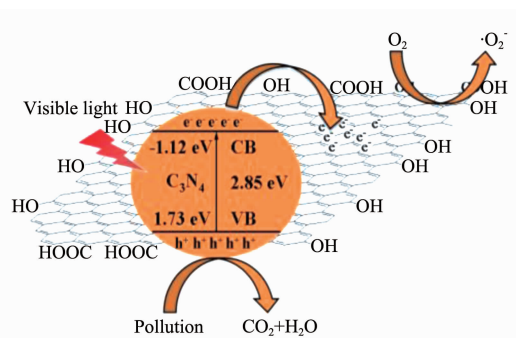
10^{-4} mol·L⁻¹) 和 NaOH(2×10^{-3} mol·L⁻¹) 混合溶液中光照不同时间的荧光光谱曲线, 由图可知随着光照时间的增长, 溶液中·OH 的数量变化不明显, 这与光催化活性物质实验的结果相吻合。

除了光催化活性, 稳定性是光催化剂另一个需考虑的重要因素。为了检测催化剂的稳定性, 实验在相同条件下对 6.0% RGO/C₃N₄ 复合物进行了 4 次循环利用。图 10 说明在 4 次重复光照后, 复合物的光催化活性只有轻微的下降, 表明 RGO/C₃N₄ 复合物具有较强的光稳定性。

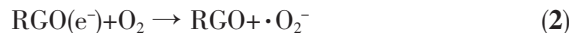
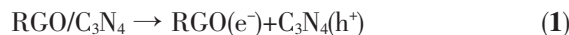
图 10 6.0% RGO/C₃N₄ 复合物的循环降解曲线Fig.10 Recycling degradation curves for 6.0% RGO/C₃N₄ composite

2.7 光催化活性增强机理

将 RGO 与 C₃N₄ 复合后, 其光催化活性优于单纯的 C₃N₄, 这主要归于光照下 RGO 与 C₃N₄ 二者的协同效应, 提高了光生电子-空穴的分离效率, 进而增强了光催化活性。图 11 阐述了 RGO/C₃N₄ 复合材料提高光催化活性的机理。在光照下, C₃N₄ 吸收可见光并被激发产生光生电子-空穴对, 光生电子从 C₃N₄ 的价带跃迁到导带, 并在价带留下空穴。单纯

图 11 RGO/C₃N₄ 复合材料可能的光催化活性增强机理Fig.11 Proposed mechanism for enhanced photocatalytic activity of RGO/C₃N₄ composite

C₃N₄ 产生的光生载流子在催化剂表面很快复合, 只有少部分的电子和空穴参与光催化反应, 因而光催化活性较低。当 C₃N₄ 和 RGO 复合后, 由于 RGO 具有极强的电子迁移率, C₃N₄ 表面的光生电子会向 RGO 转移, 而空穴仍然滞留在 C₃N₄ 的价带, 使得光生电子-空穴有效的分离, 降低了载流子复合机率。据文献报道, C₃N₄ 导带电势 (E_{CB}) 约为 -1.12 eV (vs NHE)^[15], 由 $E_{VB}=E_{CB}+E_g$ 可知, 价带电势 (E_{VB}) 约为 1.73 eV (vs NHE)^[27]。而 OH[·]-OH 的氧化还原电位在 2.38 V (vs NHE)^[27], 因此, 价带上产生的空穴不能直接将吸附在催化剂表面的 OH[·] 或 H₂O 分子氧化成·OH, 而是以空穴的形式直接与有机物发生氧化反应, 所以在光催化实验中的主要活性物质不是·OH。另一方面, 转移至 RGO 上的光生电子与吸附在催化剂表面的 O₂ 反应生成具有氧化性的超氧自由基·O₂^{·-}, 其也作为活性物质将有机物氧化降解, 因此可能的反应式如下:



为证实上述光催化反应机理, 采用光致发光测试来研究材料的表面结构和激发状态。一般而言, 荧光峰的强弱与半导体材料的光生电子和空穴复合强弱有关, 光生电子与空穴越易复合, 荧光发射峰越强; 若荧光强度减弱, 则说明光生电子和空穴复合的机率下降^[24]。

图 12 为 C₃N₄ 和 6.0% RGO/C₃N₄ 复合物在 350~650 nm 波长范围的光致发光光谱。由图可知, 6.0% RGO/C₃N₄ 复合物的荧光强度明显低于单纯的 C₃N₄, 说明 RGO/C₃N₄ 复合物能有效抑制光生电子和空穴复合, 从而提高光催化活性。

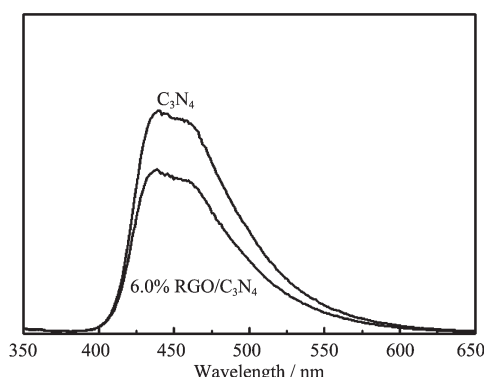
图 12 C₃N₄ 和 6.0% RGO/C₃N₄ 复合物的荧光光谱

Fig.12 Fluorescence spectra of C₃N₄ and 6.0% RGO/C₃N₄ composite

3 结 论

通过半封闭一步热裂解和改进的 Hummers 方法分别制备了类石墨氮化碳(C₃N₄)和氧化石墨烯(GO)，再利用光还原的方法制得还原氧化石墨烯(RGO)。光催化降解 RhB 的实验表明，RGO 的复合提高了C₃N₄的光催化活性，且6.0% RGO/C₃N₄复合材料的光催化活性最高。光致发光测试证实 RGO 和 C₃N₄之间发挥了协同作用，光生电子有效的从C₃N₄转移至RGO，提高了光生电子-空穴的分离效率，从而增强了光催化活性。此外，RGO/C₃N₄复合材料也显示了良好的光稳定性。以上结果表明，该材料在有机污染物的光催化处理方面有广阔的应用前景。

参考文献：

- [1] Hu X L, Li G S, Yu J C. *Langmuir*, **2010**,**26**:3031-3039
- [2] Chen C C, Ma W H, Zhao J C. *Chem. Soc. Rev.*, **2010**,**39**:4206-4219
- [3] Chen X B, Shen S H, Guo L J, et al. *Chem. Rev.*, **2010**,**110**:6503-6570
- [4] Lu S Y, Wu D, Wang Q L, et al. *Chemosphere*, **2011**,**82**:1215-1224
- [5] Chen X B, Mao S S. *Chem. Rev.*, **2007**,**107**:2891-2959
- [6] Wang H, Gao J, Guo T Q, et al. *Chem. Commun.*, **2012**,**48**:275-277
- [7] Bi Y P, Ouyan S X, Umezawa N, et al. *J. Am. Chem. Soc.*, **2011**,**133**:6490-6492
- [8] Shang M, Wang W Z, Zhang L. *J. Hazard. Mater.*, **2009**,**167**:803-809
- [9] Yan S C, Li Z S, Zou Z G. *Langmuir*, **2009**,**25**:10397-10401
- [10] Liu J H, Zhang T K, Wang Z C, et al. *J. Mater. Chem.*, **2011**,**21**:14398-14401
- [11] Cui Y J, Zhang J S, Zhang G G, et al. *J. Mater. Chem.*, **2011**,**21**:13032-13039
- [12] Ge L, Han C C, Liu J. *Appl. Catal. B: Environ.*, **2011**,**108**(109):100-107
- [13] Sun J X, Yuan Y P, Qiu L G, et al. *Dalton Trans.*, **2012**,**41**:6756-6763
- [14] Cao S W, Yuan Y P, Fang J, et al. *Int. J. Hydrogen Energy*, **2013**,**38**:1258-1266
- [15] Chai B, Peng T Y, Mao J, et al. *Phys. Chem. Chem. Phys.*, **2012**,**14**:16745-16752
- [16] Dreyer D R, Park S, Bielawski C W, et al. *Chem. Soc. Rev.*, **2010**,**39**:228-240
- [17] GENG Jing-Yi(耿静漪), ZHU Xin-Sheng(朱新生), DU Yu-Kou(杜玉扣). *Chinese J. Inorg. Chem.*(无机化学学报), **2012**,**28**(2):357-361
- [18] ZHOU Tian(周田), CHEN Bing-Di(陈炳地), YAO Ai-Hua(姚爱华), et al. *Chinese J. Inorg. Chem.*(无机化学学报), **2013**,**29**(2):231-236
- [19] YING Hong(应红), WANG Zhi-Yong(王志永), GUO Zheng-Duo(郭政铎), et al. *Acta Phys.-Chim. Sin.*(物理化学学报), **2011**,**27**(6):1482-1486
- [20] Xu T G, Zhang L W, Cheng H Y, et al. *Appl. Catal. B: Environ.*, **2011**,**101**:382-387
- [21] Xiang Q J, Yu J G, Jaroniec M. *J. Phys. Chem. C*, **2011**,**115**:7355-7363
- [22] Liao G Z, Chen S, Quan X, et al. *J. Mater. Chem.*, **2012**,**22**:2721-2726
- [23] Zhang H, Fan X F, Quan X, et al. *Environ. Sci. Technol.*, **2011**,**45**:5731-5736
- [24] CHAI Bo(柴波), SONG Fa-Kun(宋发坤), ZHOU Huan(周欢), et al. *J. Chinese Ceram. Soc.*(硅酸盐学报), **2013**,**41**(4):560-566
- [25] Shen J F, Yan B, Shi M, et al. *J. Mater. Chem.*, **2011**,**21**:3415-3421
- [26] Gao J, Xu B Y, Lin H L, et al. *Dalton Trans.*, **2012**,**41**:11482-11490
- [27] Cheng H F, Huang B B, Dai Y, et al. *Langmuir*, **2010**,**26**:6618-6624